



**Universidade do Estado
de Santa Catarina**



APLICAÇÃO DE DIFERENÇAS-FINITAS EM PROBLEMAS DE DIFUSÃO E DIFUSÃO- CONVECÇÃO

Maikon Antonio Ribeiro Nascimento

Bolsista PROBIC

Curso de Engenharia Elétrica

Orientador: Prof. Dr. Rogério Aguiar

Centro/Departamento: CCT – Eng^a. Elétrica

Introdução

- Importância da Simulação
- Objetivos

Metodologia

- Equações

$$\frac{\partial T(x, t)}{\partial t} = \alpha \frac{\partial^2 T(x, t)}{\partial x^2}$$

$$\frac{\partial T(x, t)}{\partial t} = \alpha \left(\frac{\partial^2 T}{\partial x^2} + \frac{\partial^2 T}{\partial y^2} \right)$$

$$\frac{\partial T(x, t)}{\partial t} = \alpha \left(\frac{\partial^2 T}{\partial x^2} + \frac{1}{x} \frac{\partial T}{\partial x} \right)$$

$$D_{12} \left[\frac{\partial^2 C}{\partial r^2} + \frac{1}{r} \frac{\partial C}{\partial r} + \frac{\partial^2 C}{\partial z^2} \right] = \frac{\partial C}{\partial t} + 2\bar{u} \left[1 - \frac{r^2}{a^2} \right] \frac{\partial C}{\partial z}$$

Metodologia

- Obtenção da Resposta Analítica, de alguns problemas, por Séries de Fourier:


$$T(x, t) = \sum_{n=1}^{\infty} \frac{-2}{n\pi} \cdot e^{-n^2 \pi^2 Kt} \sin(n\pi x)$$


$$T(x, t) = \sum_{n=1}^{\infty} \frac{-2 \sin(1)(-1)^n}{(-1 + n\pi)(1 + n\pi)} \cdot e^{-n^2 \pi^2 Kt} \cos(n\pi x) + \sin(1)$$

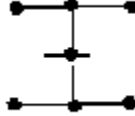
$$T(x, t) = \sum_{n=1}^{\infty} \frac{-8(-1)^n}{(2n-1)^2 \pi^2} \cdot e^{\frac{-(2n-1)^2 \pi^2 Kt}{4}} \cdot \sin\left(\frac{(2n-1)\pi x}{2}\right)$$

Metodologia

- Obtenção da Resposta Numérica por Diferenças Finitas:
Os tipos de Discretizações e suas características.

$$\frac{T_i^{n+1} - T_i^n}{\Delta t} = \alpha \frac{T_{i-1}^n - 2T_i^n + T_{i+1}^n}{(\Delta x)^2}$$


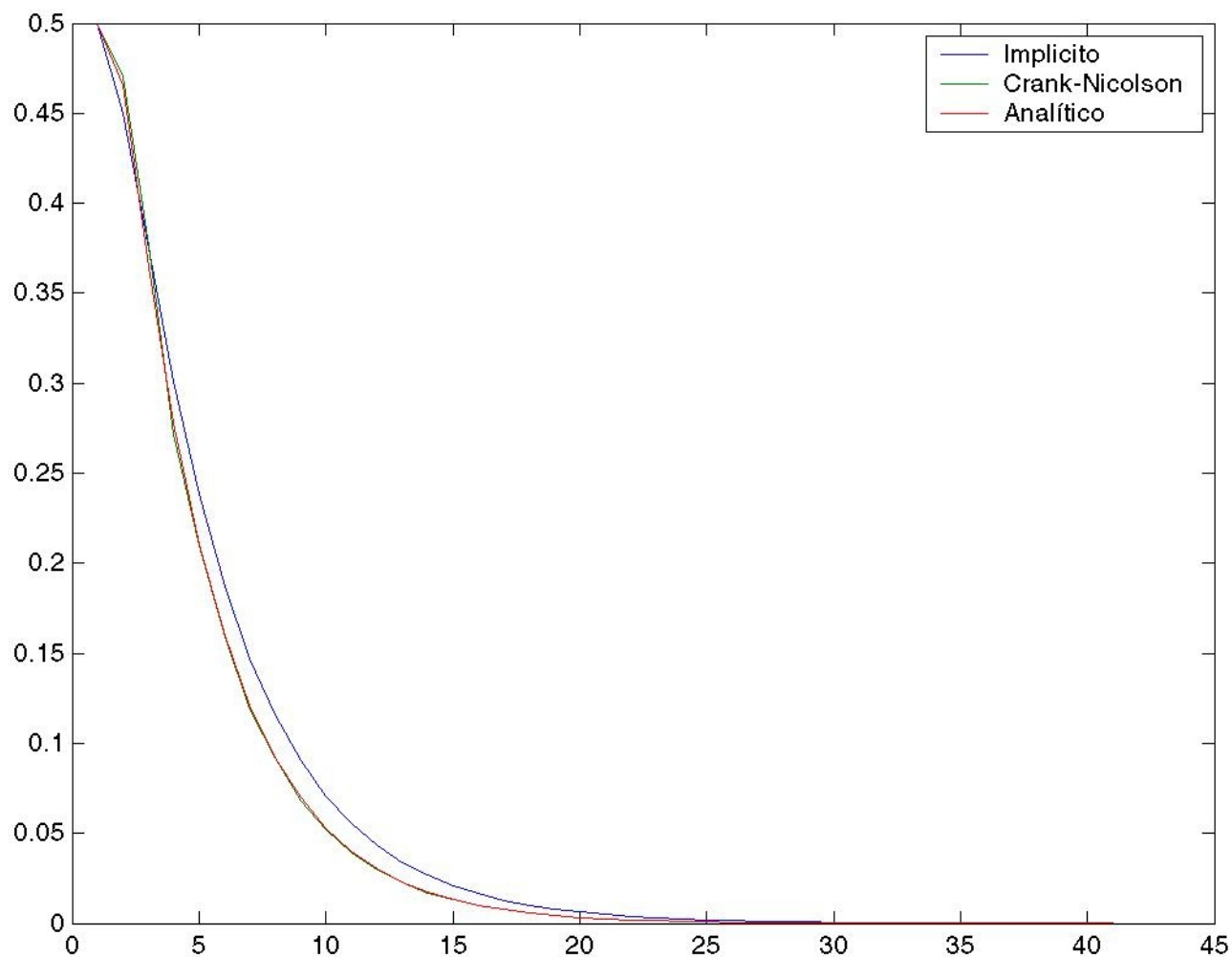
$$\frac{T_i^{n+1} - T_i^n}{\Delta t} = \alpha \frac{T_{i-1}^{n+1} - 2T_i^{n+1} + T_{i+1}^{n+1}}{(\Delta x)^2}$$


$$\frac{T_i^{n+1} - T_i^n}{\Delta t} = \frac{\alpha}{2} \left[\frac{T_{i-1}^{n+1} - 2T_i^{n+1} + T_{i+1}^{n+1}}{(\Delta x)^2} + \frac{T_{i-1}^n - 2T_i^n + T_{i+1}^n}{(\Delta x)^2} \right]$$


Metodologia

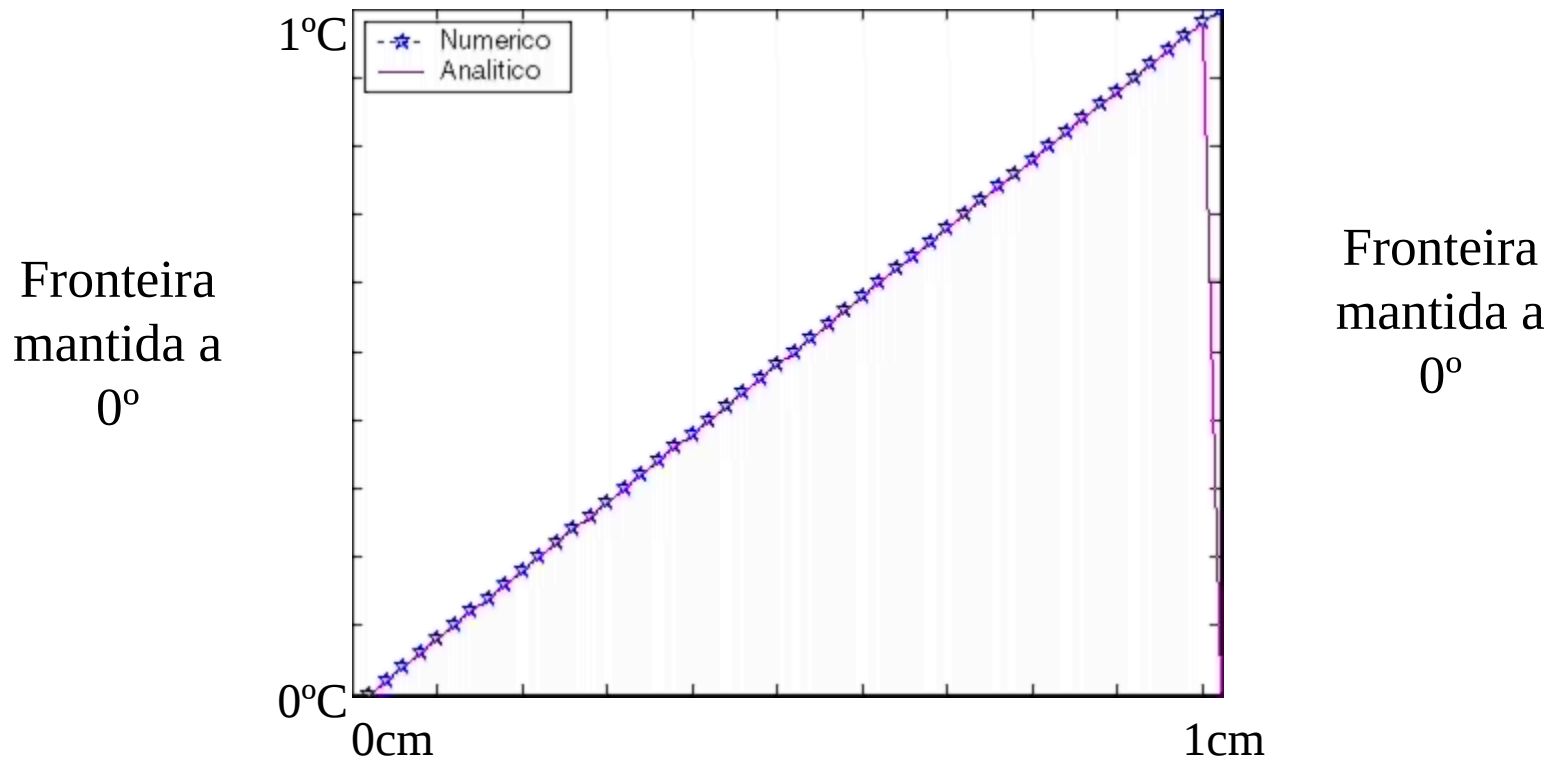
- Problemas Abordados
 - Condução do Calor em uma barra sob condições de fronteira diversas (temperatura conhecida, fluxo conhecido ou ambas);
 - Condução do Calor em uma chapa com fluxo e temperatura conhecida nas fronteiras;
 - Condução do Calor em um Cilindro;
 - Escoamento de fluido em um Cilindro em duas dimensões;

Resultados



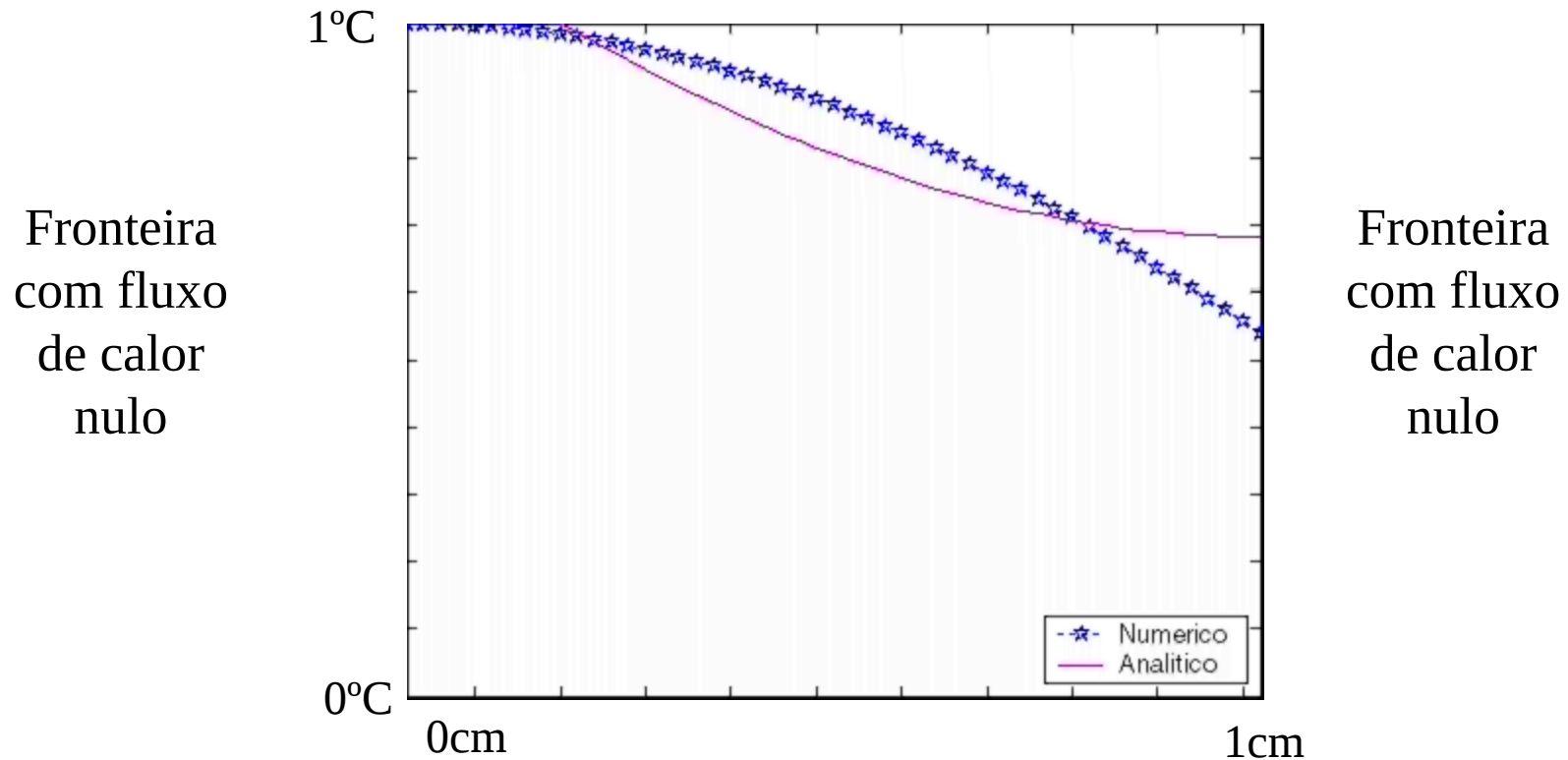
Resultados

Condução do Calor em uma barra com temperatura de 0°C e excitada pela função rampa.



Resultados

Condução do Calor em uma barra sob fluxo de calor nulo nas fronteiras e excitada pela função cosseno



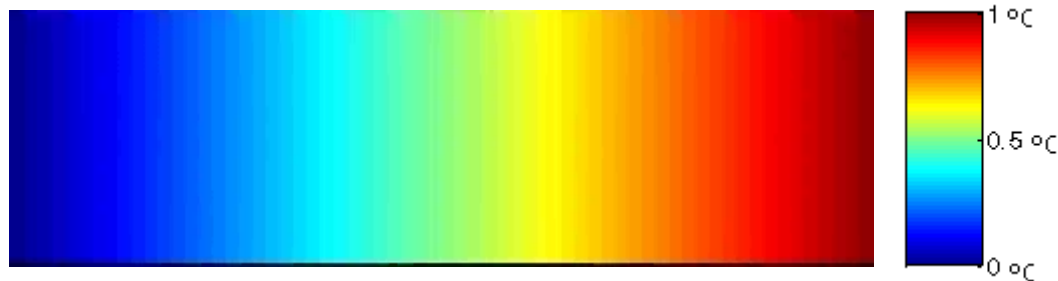
Resultados

- Vídeo Ilustrativo da Propagação do calor em uma Barra com Temperatura de 0°C nas fronteiras

$$\frac{\partial T}{\partial t} = \alpha \frac{\partial^2 T}{\partial x^2} \quad \text{em } \mathbb{R};$$

$$T(0, t) = T(L, t) = 0, \quad \text{para } t > 0;$$

$$T(x, 0) = x, \quad \text{para } 0 \leq x \leq L.$$



- Vídeo Ilustrativo da Propagação do calor em uma Chapa com Temperatura de 0°C nas fronteiras verticais e fluxo de calor nulo nas fronteiras horizontais.

$$\frac{\partial T}{\partial t} = \alpha \left(\frac{\partial^2 T}{\partial x^2} + \frac{\partial^2 T}{\partial y^2} \right) \quad \mathbb{R},$$

$$T(0, y, t) = T(L_x, y, t) = 0, \quad t > 0$$

$$0 < y < L_y$$

$$\frac{\partial T}{\partial y} \Big|_{y=0} = \frac{\partial T}{\partial y} \Big|_{y=L_y} = 0, \quad t > 0$$

$$0 < x < L_x,$$

$$T(x, y, 0) = x^2 + y^2, \quad 0 \leq x \leq L_x$$

$$0 \leq y \leq L_y.$$

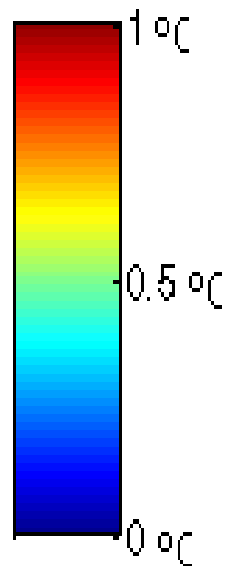
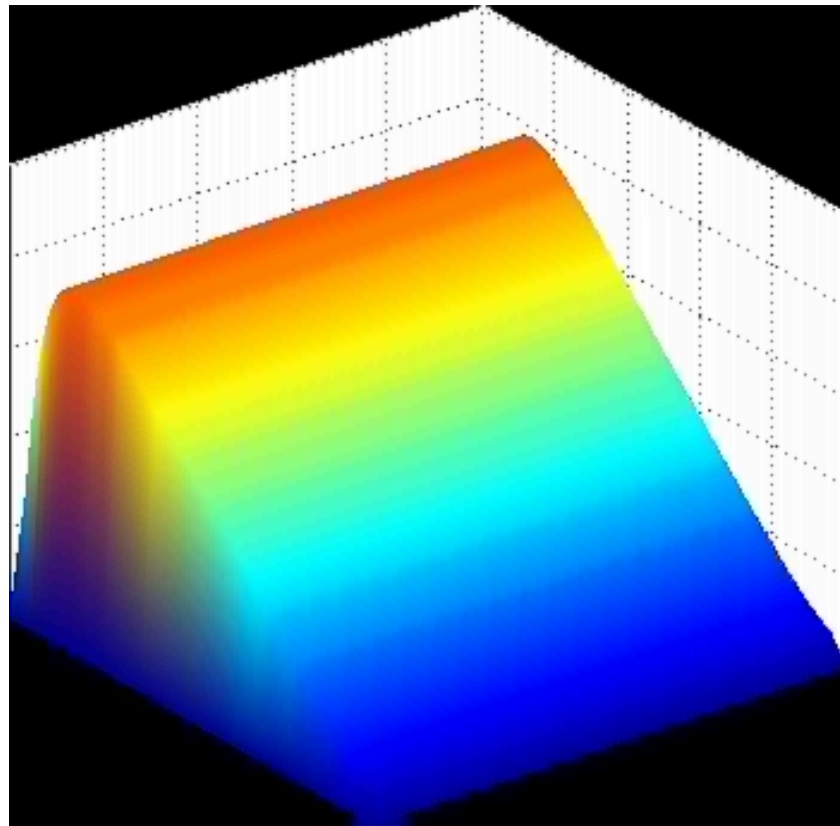


- Vídeo Ilustrativo da Propagação do calor em um Cilindro com Temperatura de 0°C na fronteira e excitado pela função rampa.

$$\frac{\partial T}{\partial t} = \alpha \left(\frac{\partial^2 T}{\partial x^2} + \frac{1}{x} \frac{\partial T}{\partial x} \right) \quad \mathbb{R},$$

$$T(L, t) = 0, \quad t > 0,$$

$$T(x, 0) = x, \quad 0 \leq x \leq L.$$



- Difusão-Convecção: Medição no final do Cilindro

$$D_{12} \left[\frac{\partial^2 C}{\partial r^2} + \frac{1}{r} \frac{\partial C}{\partial r} + \frac{\partial^2 C}{\partial z^2} \right] = \frac{\partial C}{\partial t} + 2\bar{u} \left[1 - \frac{r^2}{a^2} \right] \frac{\partial C}{\partial z} \text{ em } \mathbb{R}$$

Normalizamos para deixar os termos com o mesmo peso

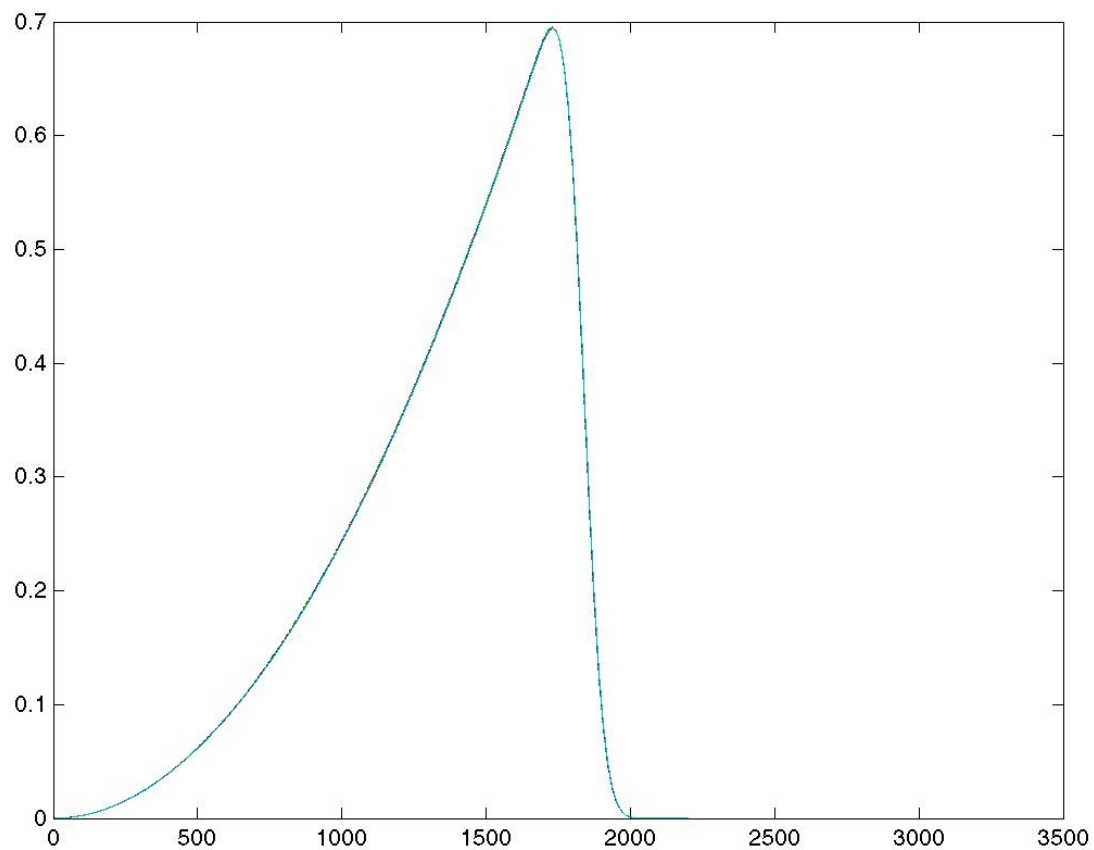
$$D_{12} \left[z_{\max}^2 \frac{\partial^2 \tilde{C}}{\partial \tilde{r}^2} + \frac{z_{\max}^2}{\tilde{r}} \frac{\partial \tilde{C}}{\partial \tilde{r}} + r_{\max}^2 \frac{\partial^2 \tilde{C}}{\partial \tilde{z}^2} \right] = z_{\max}^2 r_{\max}^2 \frac{\partial \tilde{C}}{\partial t} + 2\bar{u} z_{\max} r_{\max}^2 [1 - \tilde{r}^2] \frac{\partial \tilde{C}}{\partial \tilde{z}}$$

$$\text{Em } i = 0 : D_{12} \left[2 \frac{1}{r_{\max}^2} \frac{\partial^2 \tilde{C}}{\partial \tilde{r}^2} + \frac{1}{z_{\max}^2} \frac{\partial^2 \tilde{C}}{\partial \tilde{z}^2} \right] = \frac{\partial \tilde{C}}{\partial t} + 2\bar{u} [1 - \tilde{r}^2] \frac{1}{z_{\max}} \frac{\partial \tilde{C}}{\partial \tilde{z}},$$

$$\frac{\partial \tilde{C}}{\partial \tilde{r}} \Big|_{\tilde{r}=1} = 0 \text{ para } 0 < z < 1 \text{ e } \frac{\partial \tilde{C}}{\partial \tilde{z}} \Big|_{\tilde{z}=0} = 0 \text{ para } 0 < r < 1.$$

Injetamos um pulso no inicio do cilindro.

Resultados



Conclusão

- Análise dos resultados;
- Artigo;

**OZISIK, M. N. Finite Difference
Methods in Heat Transfer. EUA: CRC
Press, 1994.**



Agradecimentos



- UDESC
- Prof.º Orientador: Dr. Rogério de Aguiar
- Prof.º Dr. Luiz Coelho.

E-mail para contato:
maikonadams@gmail.com